

(12) ОПИСАНИЕ ИЗОБРЕТЕНИЯ К ЕВРАЗИЙСКОЙ ЗАЯВКЕ

Дата публикации заявки (43)

2021.01.25

Дата подачи заявки (22)2019.04.19

- **(51)** Int. Cl. *A61K 31/496* (2006.01) A61K 47/14 (2017.01) A61K 47/44 (2017.01) **A61K 9/20** (2006.01) A61K 9/48 (2006.01)
- (54) КОМПОЗИЦИЯ ДЛЯ ЛЕЧЕНИЯ ВИРУСНЫХ ЗАБОЛЕВАНИЙ (ВАРИАНТЫ)
- (31)2018114533
- (32) 2018.04.19
- (33)RU
- (86) PCT/RU2019/050048
- (87) WO 2019/203697 2019.10.24
- (71) Заявитель:

РОЗИЕВ РАХИМДЖАН АХМЕТДЖАНОВИЧ (RU) (72)Изобретатель:

Еримбетов Кенес Тагаевич, Власова Ксения Юрьевна, Земляной Руслан Александрович, Фрог Фрог Сергеевна, Бондаренко Екатерина Валерьевна, Гончарова Анна Яковлевна, Розиев Рахимджан Ахметджанович (RU)

A61P 31/16 (2006.01)

(74)Представитель: Чабань Ю.М. (RU)

Изобретение относится к медицине, ветеринарии, конкретно к фармакологии, и касается (57) фармацевтической композиции на основе твердых липидных частиц гидрохлорида 1-{[6-бром-1метил-5-метокси-2-фенилтиометил-1-Н-индол-3-ил]карбонил}-4-бензилпиперазина (варианты). Композицию предлагается использовать в качестве средства с направленной доставкой для лечения гриппа и ОРВИ.

Композиция на основе твердых липидных частиц, обладающая свойством направленной доставки для лечения вирусных заболеваний (варианты)

Изобретение относится к медицине, ветеринарии, конкретно к фармакологии, и касается применения композиции на основе твердых липидных частиц гидрохлорида $1-\{[6-бром-1-$ метил-5-метокси-2-фенилтиометил-1-H-индол-3-ил]карбонил $\}-4$ бензилпиперазина в качестве средств с направленной доставкой для лечения гриппа и OPBИ.

распространены инфекции широко человеческой популяции и способны поражать практически все органы и системы латентную, острую, организма , BHNREOX вызывая хроническую формы инфекции. Высокая заболеваемость и смертность от медленную инфекций диктует необходимость создания хинпостоите вирусных регистрируемых лекарственных препаратов. Значительная часть заболеваний вирусной этиологии приходится на грипп и ОРВИ.

инфекционным является заболеванием, здоровью людей и приводящий к значительным экономическим потерям. В дополнении к вакцинации Всемирной Организацией Здравоохранения (ВОЗ) противогриппозных рекомендовано применение XMHIOGTONTE химиопрепаратов, оказывающих непосредственное воздействие репродукцию вируса и направленных на определенную вирусспецифическую мишень в ee цикле [1 . Hayden F. WHO Guidelines on the Use of Vaccines and Antivirals during Influenza. - Annex 5-Considerations for the Use of Antivirals during an Influenza pandemic, Geneva, 2-4 2002. 2. European Medical October, Agency. Antivirals.http://www.emea.europa.eu/influenza. 3.CDC Interim Guidance for 2010-2011.http//www.cdc.gov/flu/reccommendation.htm. 4. Emergence novel swine -origin influenza A (H1N1) virus in human. Novel swineorigin influenza A (H1N1) virus investigation team. The New England Journal of Medicine 2009; 10:1-10]. Количество таких препаратов в чрезвычайно ограничено. Существуют препараты поколения адамантанового ряда - амантадин и ремантадин, блокирующие протоновый канал, так называемые «M2-белки ингибиторы», эффективные в отношении вируса гриппа А, а также препараты второго поколения нейраминидазы занамивир (реленца) ингибиторы и осельтамивир Последние препараты ПО сравнению C адамантанового ряда имеют лучшие показатели безопасности. Главными причинами ограниченного применения противовирусных препаратов уже возникновение резистентности вирусов к препаратам. Исследования клинических изолятов показали, что процент штаммов вируса гриппа А, резистентных как адамантанам, ингибитору нейраминидазы осельтамивиру чрезвычайно возрос в мире. По данным Центра контроля заболеваний (Атланта, США) в эпидемический сезон 2008-2009 гг. практически все циркулирующие в этот период гриппа H3N2 штаммы вируса Α были резистентны амантадину/ремантадину, а 98-100 % штаммов сезонного гриппа H1N1 к ингибитору нейраминидазы резистентны осельтамивиру. Существенным недостатком указанных лекарственных средств является и то, что их применение часто сопряжено с возникновением побочных раздражения носоглотки, эффектов виде что ограничивает использование его у людей с астмой и хронической обструктивной болезнью легких (ХОБЛ), которые относятся к группе

заболеваемости гриппом, а необходимость распылительного устройства его применение у пожилых людей и детей [Relenza: Highlights Prescribing Information. http//www.cdc.gov/h1n1flu/eua/pdf//relenza]. При применении осельтамивира наблюдаются побочные эффекты в виде тошноты и рвоты [Roche. Tamiflu (Oseltamivir Phospate) capsules and Tamiflu for oral http//www.rocheusa.com]. Одним повьшения suspension, $\mathbf{R}\mathbf{N}$ путей эффективности лечения гриппа и ОРВИ является разработка этиотропных новой химической структурой, препаратов с моменных механизмом действия и новой лекарственной формой, обеспечивающей направленную доставку.

Одной из актуальных проблем современной фармакологии является создание лекарственных форм, которые не только эффективно действуют на пораженные заболеванием органы и клетки, но и способны при введении в организм максимально полно и количественно достигать патологического очага, преодолевая множество естественных барьеров.

Разработка новых лекарственных форм препаратов с различными системами доставки, позволяющими повысить концентрацию поступающего лекарственного средства к пораженному органу и снизить выраженность побочных действий, является эффективным способом улучшения качества терапии.

Известны соединения, обладающие противовирусной активностью, способ их получения /Патент РФ № 2387642, C07D401/06, 31.10.2007/.

Известно интерферониндуцирующее средство для лечения острых респираторных вирусных инфекций (ОРВИ) /Патент РФ № 2470634, 05.10.2010/.

Известно средство против вируса гриппа В /Патент РФ № 2435582, 05.10.2010/.

В качестве средств для лечения гриппа и ОРВИ предложено использовать клатратные комплексы бета-циклодекстрина с производным индола, обладающего противовирусной активностью /Патент РФ \mathbb{N} 2448120, C07D413/06/ 01.11.2010/.

Вышеприведенные средства для лечения гриппа и ОРВИ не позволяют повысить концентрацию поступающего препарата к пораженному органу и снизить выраженность побочных действий и не обеспечивают улучшения качества терапии, в этом заключается решаемая техническая проблема.

Традиционные ПУТИ введения И лекарственные фармакологических препаратов не всегда могут создавать необходимую терапевтическую концентрацию в очаге поражения и обеспечивать достаточную продолжительность действия, вызывая при этом системные побочные эффекты. В связи с этим одним из приоритетных направлений фармакологии и связанных с ней современной дисциплин является новых способов доставки существующих изыскание И средств разрабатываемых лекарственных средств. Современные способны изменять фармакокинетику переносимых лекарственных веществ, оптимизируя процессы абсорбции, распределения (преодоление гистогематических барьеров, включая гематоэнцефалический), метаболизма И элиминации [Козлов Кукушкин Г.В., Юров Д.Е., Томаев У.М./Новые подходы к созданию направленного транспорта лекарственных веществ в лимфатическую систему//Журнал «Здравоохранение Чувашии», 2013, выпуск № 4].

Одним из способов целенаправленной доставки лекарственного препарата к очагу поражения является его транспорт посредством лимфатической системы. При этом удается не только создавать и поддерживать адекватные концентрации лекарственных средств в тканях-

мишенях, но и воздействовать на патогенные агенты непосредственно в лимфе.

В настоящее время практическое применение находят разнообразные системы доставки, обладающие различными физическими и биохимическими уделяется Большое внимание лекарственным содержащим липиды - твёрдые липидные наночастицы (SLN, solid lipid nanoparticles), наноструктурные липидные носители nanostructured lipid carriers), липидные наноэмульсии, конъюгаты липид-лекарство (LDC, lipid drug conjugates). Липидные лекарственные формы могут повышать биодоступность липофильного лекарства путем солюбилизации \mathbf{B} просвете кишечника образования везикул, смешанных везикул и мицелл), а также влияя на транспортные и метаболические процессы в энтероцитах [Ипатова О.М., Торховская Т.И., Медведева Н.В., Прозоровский В.Н., Иванова Н.Д., Широнин А.В., Баранова В.С., Арчаков А.И./Биодоступность пероральных лекарственных форм и способы ее повышения// Биомедицинская химия, 2010, том 56, вып. 1, с. 101-119].

Лекарственные формы, содержащие липиды, твёрдые липидные наночастицы, представляют собой однородные частицы, сформированные из липидов, находящихся в одинаковых агрегатных состояниях, при этом моле-кулы лекарственного вещества диспергированы в пространстве между боковыми цепями жирных кислот.

Основными материалами для синтеза твердых липидных наночастиц являются триглицериды и воски. Размеры наноносителей данного типа колеблются от 50 до 1000 нм. Лекарственное вещество в них, как правило, высоколипофильное, растворено в ядре или диспергировано по всей матрице. Твердые липидные наночастицы хорошо абсорбируются в лимфатические сосуды кишечника и через грудной проток поступают в кровообращения, не подвергаясь круг пресистемному метаболизму. Они хорошо зарекомендовали себя в качестве средств целенаправленной доставки В экспериментальном исследовании, оценивавшем проницаемость гемато-энцефалического барьера (ГЭБ) для антиретровирусных препаратов: стадивудина, делавирдина и саквинавира [Козлов И.Г., Кукушкин Г.В., Юров Д.Е., Томаев У.М./Новые подходы к направленного транспорта лекарственных веществ лимфатическую систему//Журнал «Здравоохранение Чувашии», выпуск № 4]. В случае с применением противогриппозных препаратов за счет целенаправленной доставки и увеличения их концентрации верхних дыхательных путях обеспечивается подавление вируса в этих органах, что в конечном итоге позволяет снизить выраженность побочных действий и повысить эффективность гриппа и ОРВИ.

Таким образом, техническая проблема, на решение направлено заявляемое изобретение, заключается В существующие средства для лечения гриппа и ОРВИ не обеспечивают улучшения качества терапии, низкоэффективны. Технический результат направленной доставки и увеличение концентрации это обеспечение лекарственного средства в верхних дыхательных путях при снижении применяемых доз лекарственного средства.

Для решения обозначенной технической проблемы и достижения технического результата в настоящем изобретении предлагается фармацевтическая композиция на основе твердых липидных частиц гидрохлорида 1-{[6-бром-1-метил-5-метокси-2-фенилтиометил-1-Н-индол-

3-ил] карбонил $\}$ -4 бензилпиперазина, обладающая свойством направленной доставки для лечения гриппа и ОРВИ, при следующем соотношении компонентов, масс %:

Вариант 1:

Гидрохлорид	1-{[б-бром-1-	метил-5-	
метокси-2-фенилти	иометил-1-Н-индол-3-	_	2,0 - 14,0
ил]карбонил}-4 бе	ензилпиперазин		
Глицерид	длинноцепочечных	хиндиж	64,0 - 86,0
кислот			01,0 00,0
Масло расти	гельное		10,0 - 20,0
Эмульгатор			2,0

Фармацевтическая композиция дополнительно может содержать триглицерид среднецепочечный при следующем соотношении компонентов, масс %:

Вариант 2:

2.0 - 14.0Гидрохлорид 1-{[б-бром-1метил-5метокси-2-фенилтиометил-1-Н-индол-3ил]карбонил}-4 бензилпиперазин Глицерид длинноцепочечных 50 - 70.0хиндиж кислот Масло растительное 10.0 - 30.04.0 - 16.0Триглицерид среднецепочечный Эмульгатор 2,0

Глицерид длинноцепочечных жирных кислот может быть выбран из группы, например, глицерилтристеарата, глицерилдистеарата, глицерилмоностеарата , глицерилпальмитата, глицерилдибегената, глицерилтрибегената, глицерилмоноолеата, белого воска или воска цетиловых эфиров.

Масло растительное выбирают из группы, например, масла оливкового, арахисового, кунжутного, льняного, рапсового, соевого, хлопкового, лимонного, апельсинового.

В качестве триглицерида среднецепочечного может быть выбрано масло кокосовое или пальмовое или пальмоядровое.

В качестве эмульгатора выбирают лецитин или желатин.

Заявляемые композиции на основе твердых липидных частиц гидрохлорида $1-\{[6-бром-1-метил-5-метокси-2-фенилтиометил-1-H-индол-3-ил] карбонил<math>\}-4$ бензилпиперазина в качестве средств с направленной доставкой для лечения гриппа и ОРВИ получали следующим образом.

Твердые липидные частицы, содержащие гидрохлорида 1-{[6-бром-1метил-5-метокси-2-фенилтиометил-1-Н-индол-3-ил] карбонил}-4 бензилпиперазин, получали способами, описанными в работе [Meghavi Patel, Development, Characterization and Evaluation of Solid Lipid Nanoparticles as a Potential Anticancer Drug Delivery University of Toledo, 2012], с модификациями. Метод 1: метод горячей гомогенизации. В стакане на 100 мл при нагревании 50-60 $^{\circ}\mathrm{C}$ смешивали г липидов, далее вводили раствор гидрохлорида 1-{[б-бром-1метил-5-метокси-2-фенилтиометил-1-H-индол-3-ил] карбонил $\}-4$ Смесь выдерживали бензилпиперазина в спирте. при нагревании течение 30 мин при постоянном перемешивании для удаления спирта и равномерного распределения гидрохлорида 1-{[6-бром-1метокси-2-фенилтиометил-1-Н-индол-3-ил]карбонил}-4 бензилпиперазина

по всему объему липидов. К полученному раствору добавляли раствор

лецитина в воде с концентрацией 2 мг/мл при t=50 °C, тщательно перемешивали до получения однородной эмульсии. Конечную эмульсию переливали в 2 л деионизированной воды комнатной температуры при перемешивании, далее суспензию ультразвуковым щупом (14 Вт) в течение 1 мин для измельчения частиц. Твердые липидные частицы отфильтровывали на воронке Бюхнера, высушивали на воздухе. В результате получали частицы со средним диаметром 1000 нм. Метод 2: обращено-фазовый метод. В круглодонной колбе растворяли 25 г липидов, вводили навеску гидрохлорида $1-\{[6$ метил-5-метокси-2-фенилтиометил-1-Н-индол-3-ил] карбонил}-4 спирта. бензилпиперазина в 5 ΜЛ Далее добавляли деионизированной воды, эмульгировали смесь с помощью ультразвукового (14)и выпаривали спирт на роторном испарителе Вт) температуре 50 °C. При этом следует не допускать вспенивания смеси. Конечную полученную композицию остужали до комнатной температуры. Размер полученных частиц составлял 500-1000 нм. Метод 3: через получение основания. $1-\{[6-бром-1-метил-5-метокси-2-фенилтиометил-$ 1-Н-индол-3-ил]карбонил}-4 бензилпиперазин предварительно растворяли в спирте и проводили титрование 0,1 М раствором гидроксида натрия для получения основания. Далее повторяли процедуру, описанную в методе 1 или методе 2.

Частицы были охарактеризованы следующими физико-химическими методами: размер частиц определяли с помощью микроскопа PZO Worszava и методом динамического светорассеяния (Malvern Zetasizer). Содержание $1-\{[6-бром-1-$ метил-5-метокси-2-фенилтиометил-1-H-индол-3-ил] карбонил $\}-4$ бензилпиперазина в композициях на основе твердых липидных частиц определяли методом ВЭЖХ (Ultimate Dionex 3000, детектор диодно-матричный на аналитических колонках Waters Acquity BEH C18 ($100 \times 2,1$ мм, 1,7 мкм).

С помощью описанных методов были получены композиции на основе твердых липидных частиц гидрохлорид $1-\{[6-бром-1-метил-5-метокси-2-фенилтиометил-1-H-индол-3-ил]$ карбонил $\}-4$ бензилпиперазина. Их составы представлены в таблицах 1-6.

Таблица 1 - Состав заявляемой композиции № 1.1

Компоненты	Содержание, масс %
Гидрохлорид 1-{[6-бром-1- метил-5-метокси-2-фенилтиометил-1-Н-индол-3-	2,0
метокси-z-фенилтиометил-т-п-индол-з- ил]карбонил}-4 бензилпиперазин	Z, U
Глицерилтристеарат/глицерилдистеарат/глицерилмоностеарат /глицерилпальмитат/глицерилдибегенат/глицерилмоноолеат/ белый воск/воск цетиловых эфиров	70,0
Масло оливковое / арахисовое / кунжутное / льняное / рапсовое/соевое/хлопковое/лимонное/апельсин овое	10,0
Масло кокосовое/пальмовое/	16,0
пальмоядровое	
Лецитин/желатин	2,0

Таблица 2 - Состав заявляемой композиции № 1.2

Компоненты	Содержание, масс
	०१०
Гидрохлорид 1-{[6-бром-1- метил-5-	
метокси-2-фенилтиометил-1-Н-индол-3-	8,0
ил]карбонил}-4 бензилпиперазин	
Глицерилтристеарат/глицерилдистеарат/	60,0
глицерилмоностеарат /глицерилпальмитат/	
глицерилдибегенат/ глицерилтрибегенат/	
глицерилмоноолеат/ белый воск/воск	
цетиловых эфиров	
Масло оливковое/ арахисовое /кунжутное	
/льняное /рапсовое	20,0
/соевое/хлопковое/лимонное/апельсиновое	
Масло кокосовое/пальмовое/	10,0
пальмоядровое	
Лецитин/желатин	2,0

Таблица 3 - Состав заявляемой композиции № 1.3

Компоненты	Содержание, масс %
Гидрохлорид 1-{[6-бром-1- метил-5-	0
метокси-2-фенилтиометил-1-Н-индол-3-	14,0
ил]карбонил}-4 бензилпиперазин	,-
Глицерилтристеарат/глицерилдистеарат/	50,0
глицерилмоностеарат /глицерилпальмитат/	
глицерилдибегенат/ глицерилтрибегенат/	
глицерилмоноолеат/ белый воск/воск	
цетиловых эфиров	
Масло оливковое /арахисовое /кунжутное	
/льняное /рапсовое	30,0
/соевое/хлопковое/лимонное/апельсиновое	
Масло кокосовое/пальмовое/	4,0
пальмоядровое	
Лецитин/желатин	2,0

Таблица 4 - Состав заявляемой композиции № 2.1

Tachina 4 Coctab Sanbhaemon Romitcshilin	n 211
Компоненты	Содержание, масс
Гидрохлорид 1-{[6-бром-1- метил-5-	
метокси-2-фенилтиометил-1-Н-индол-3-	
ил]карбонил}-4 бензилпиперазин	2,0
Глицерилтристеарат/глицерилдистеарат/	86,0
глицерилмоностеарат /глицерилпальмитат/	
глицерилдибегенат/ глицерилтрибегенат/	
глицерилмоноолеат/ белый воск/воск	
цетиловых эфиров	
Масло оливковое /арахисовое /кунжутное	10,0
/льняное /рапсовое	
/соевое/хлопковое/лимонное/апельсиновое	
Лецитин/желатин	2,0

Таблица 5 - Состав заявляемой композиции № 2.2

<u> </u>		
Компоненты	Содержание,	масс
	બ	

Гидрохлорид 1-{[б-бром-1- метил-5-	
метокси-2-фенилтиометил-1-Н-индол-3-	
ил]карбонил}-4 бензилпиперазин	8,0
Глицерилтристеарат/глицерилдистеарат/	75,0
глицерилмоностеарат /глицерилпальмитат/	
глицерилдибегенат/ глицерилтрибегенат/	
глицерилмоноолеат /белый воск/воск	
цетиловых эфиров	
Масло оливковое /арахисовое /кунжутное	
/льняное /рапсовое	15,0
/соевое/хлопковое/лимонное/апельсиновое	
Лецитин/желатин	2,0

Таблица 6 - Состав заявляемой композиции № 2.3

Компоненты	Содержание, мас.%
Гидрохлорид 1-{[б-бром-1- метил-5-	
метокси-2-фенилтиометил-1-Н-индол-3-	
ил]карбонил}-4 бензилпиперазин	14,0
Глицерилтристеарат/глицерилдистеарат/	64,0
глицерилмоностеарат /глицерилпальмитат/	
глицерилдибегенат/ глицерилтрибегенат/	
глицерилмоноолеат/белый воск/воск цетиловых	
эфиров	
Масло оливковое /арахисовое /кунжутное	
/льняное /рапсовое	
/соевое/хлопковое/лимонное/апельсиновое	20,0
Лецитин/желатин	2,0

Указанные фармацевтические композиции могут применяться в форме таблеток, желатиновых капсул, при следующем соотношении компонентов:

- Гидрохлорид $1-\{[6-бром-1-метил-5-метокси-2-фенилтиометил-1-H-индол-3-ил] карбонил<math>\}-4$ бензилпиперазин от 2 до 14%;
 - наполнитель (и) или носитель (и) остальное.

Сущность изобретения поясняется примерами конкретного выполнения и рисунками.

На Рисунке 1 представлен коэффициент тканевой доступности для легких и трахеи+бронхов крыс при внутрижелудочном однократном введении заявляемой композиции 1.1, гидрохлорида $1-\{[6-бром-1-метил-5-метокси-2-фенилтиометил-1-H-индол-3-ил] карбонил<math>\}-4$ бензилпиперазина и его клатратного комплекса с бета-циклодекстрином.

На Рисунке 2 представлен коэффициент тканевой доступности для легких и трахеи+бронхов крыс при внутрижелудочном однократном введении заявляемой композиции 1.2, гидрохлорида $1-\{[6-бром-1-метил-5-метокси-2-фенилтиометил-1-H-индол-3-ил] карбонил<math>\}-4$ бензилпиперазина и его клатратного комплекса с бета-циклодекстрином.

На Рисунке 3 представлен коэффициент тканевой доступности для легких и трахеи+бронхов крыс при внутрижелудочном однократном введении заявляемой композиции 1.3, гидрохлорида $1-\{[6-бром-1-метил-5-метокси-2-фенилтиометил-1-H-индол-3-ил] карбонил<math>\}-4$

бензилпиперазина и его клатратного комплекса с бета-циклодекстрином.

На Рисунке 4 представлен коэффициент тканевой доступности для легких и трахеи+бронхов крыс при внутрижелудочном однократном

введении заявляемой композиции 2.1, гидрохлорида $1-\{[6-бром-1-метил-5-метокси-2-фенилтиометил-1-H-индол-3-ил] карбонил<math>\}-4$ бензилпиперазина и его клатратного комплекса с бета-циклодекстрином.

На Рисунке 5 представлен коэффициент тканевой доступности для легких и трахеи+бронхов крыс при внутрижелудочном однократном введении заявляемой композиции 2.2, гидрохлорида $1-\{[6-бром-1-метил-5-метокси-2-фенилтиометил-1-H-индол-3-ил] карбонил<math>\}-4$ бензилпиперазина и его клатратного комплекса с бета-циклодекстрином.

На Рисунке 6 представлен коэффициент тканевой доступности для легких и трахеи+бронхов крыс при внутрижелудочном однократном введении заявляемой композиции 2.3, гидрохлорида $1-\{[6-бром-1-метил-5-метокси-2-фенилтиометил-1-H-индол-3-ил] карбонил<math>\}-4$ бензилпиперазина и его клатратного комплекса с бета-циклодекстрином.

Пример 1. Определение тканевой доступности композиции на основе

твердых липидных частиц гидрохлорида 1-{[6-бром-1-метил-5-метокси-2-фенилтиометил-1-Н-индол-3-ил]карбонил}-4 бензилпиперазина в рамках исследования фармакокинетики распределения в органах и тканях крыс линии Wistar.

Проведено сравнительной исследование фармакокинетики 1-{ [6-бром-1-метил-5-метокси-2-фенилтиометил-1-Нраспределения индол-3-ил]карбонил}-4 бензилпиперазина в крови, органах и тканях внутрижелудочном однократном введении крысам заявляемых гидрохлорида 1-{[6-бром-1-метил-5-метокси-2фенилтиометил-1-Н-индол-3-ил]карбонил}-4 бензилпиперазина клатратного комплекса с бета-циклодекстрином в дозе 50 мг/кг.

Для проведения эксперимента были сформированы следующие группы крыс по 40 шт.:

- 1-я гидрохлорид $1-\{[6-бром-1-метил-5-метокси-2-фенилтиометил-1-H-индол-3-ил] карбонил<math>\}-4$ бензилпиперазин;
- - 3-я заявляемая композиция 1.1;
 - 4-я заявляемая композиция 1.2;
 - 5-я заявляемая композиция 1.3;
 - 6-я заявляемая композиция 2.1;
 - 7-я заявляемая композиция 2.2;
 - 8-я заявляемая композиция 2.3.

Образцы крови брали после декапитации животных. Кровь отбирали от каждого животного в пробирки, содержащие 100 мкл 5% Na₂-ЭДТА, через следующие временные интервалы: 0,5, 1, 2, 4, 8, 24, 30 и 48 после внутрижелудочного введения заявляемых композиций. гидрохлорида 1-{[6-бром-1-метил-5-метокси-2-фенилтиометил-1-Н-индол-3-ил]карбонил}-4 бензилпиперазина и его клатратного комплекса бета-циклодекстрином. На каждую временную точку были взяты по крыс. Плазму крови отделяли центрифугированием при 4000 об/мин. течение 15 мин. Пробы плазмы крови заморозили и хранили до анализа при минус 70 °C. Для изучения распределения у животных после их декапитации забирали и замораживали фрагменты следующих органов и тканей: легкие, трахеи+бронхи.

Содержание $1-\{[6-бром-1-метил-5-метокси-2-фенилтиометил-1-H-индол-3-ил]$ карбонил $\}-4$ бензилпиперазина в плазме крови, органах и тканях анализировали методом ВЭЖХ-МС-МС (ВЭЖХ-системы Thermo Ultimate-3000 с тандемным масс-спектрометрическим детектором Thermo

TSQ Exactive Plus) с источником нагреваемой электрораспылительной ионизации в режиме регистрации положительных ионов на аналитических колонках Waters Acquity BEH C18 (50×2.1 мм, 1,7 мкм).

Пробоподготовку образцов проводили путем осаждения белков и экстракции ацетонитрилом плазмы крови и водных гомогенатов органов. Предел количественного определения $1-\{[6-бром-1-метил-5-метокси-2-фенилтиометил-1-H-индол-3-ил] карбонил<math>\}-4$ бензилпиперазина в различных тканях составил ≤ 10 нг/мл.

На основании полученных данных по концентрациям $1-\{[6-бром-1-метил-5-метокси-2-фенилтиометил-1-H-индол-3-ил]$ карбонил $\}-4$ бензилпиперазина в плазме крови (нг/мл) и трахеи и бронхах (нг/г ткани) были рассчитаны площади под фармакокинетическими кривыми от момента введения до конкретной временной точки (AUC $_{0-t}$). По полученным данным рассчитывали коэффициент тканевой доступности по следующей формуле:

Коэффициент тканевой доступности = AUC_{0-t} (ткани) / AUC_{0-t} (плазмы крови).

Результаты проведенных исследований свидетельствуют, что при введении крысам заявляемых композиции 1.1; 1.2; 1.3; 2.1; 2.2 и 2.3 сравнению гидрохлоридом 1-{[6-бром-1-метил-5-метокси-2-С фенилтиометил-1-Н-индол-3-ил карбонил -4 бензилпиперазина клатратным комплексом с бета-циклодекстрином отмечено от 2- до 6кратное повышение коэффициента тканевой доступности для легких и трахеи+бронхов (Рис. 1-6). Как видно из представленных рисунков внутрижелудочное введение крысам предлагаемых композиций на основе твердых липидных частиц гидрохлорида 1-{[6-бром-1-метил-5-метокси-2фенилтиометил-1-Н-индол-3-ил]карбонил}-4 бензилпиперазина обеспечивает максимальное его проникновение в верхние дыхательные пути и подавление репродукции вируса в этих органах, что очень важно при лечении гриппа и ОРВИ.

Таким образом, заявляемые композиции на основе твердых липидных частиц гидрохлорида $1-\{[6-бром-1-метил-5-метокси-2-фенилтиометил-1-H-индол-3-ил]$ карбонил $\}-4$ бензилпиперазина в качестве противогриппозных препаратов за счет целенаправленной доставки и увеличения его концентрации в верхних дыхательных путях обеспечат подавление репродукции вируса в этих органах, что в конечном итоге позволит снизить выраженность побочных действий и повысить эффективность лечения гриппа и OPBИ.

Пример 2. Изучение эффективности заявляемых композиций на основе твердых липидных частиц гидрохлорида $1-\{[6-бром-1-метил-5-метокси-2-фенилтиометил-1-H-индол-3-ил] карбонил<math>\}-4$ бензилпиперазина на модели экспериментальной гриппозной пневмонии мышей.

Исследования ПО йонгоппистовитосп активности композиций на основе твердых липидных частиц гидрохлорида 1-{[6бром-1-метил-5-метокси-2-фенилтиометил-1-Н-индол-3-ил] карбонил}-4 бензилпиперазина in vivo проведены в Федеральном государственном учреждении «Научно-исследовательский бюджетном научном вакцин и сывороток им. И.И. Мечникова» (ФГБНУ ниивс им. N.N. Мечникова).

Целью исследования являлось изучение эффективности заявляемых композиций на основе твердых липидных частиц гидрохлорида $1-\{[6-6pow-1-wetun-5-wetokcu-2-фенилтиометил-1-H-индол-3-ил] карбонил<math>\}-4$ бензилпиперазина в двух дозах на модели вирусной гриппозной

пневмонии мышей. В качестве препарата сравнения использовали противогриппозное лекарственное средство умифеновир.

Материал и методы

Препараты, приготовление растворов для экспериментов

экспериментах использовали композиции на основе частиц гидрохлорида 1-{[6-бром-1-метил-5-метокси-2- Φ енилтиометил-1-H-индол-3-ил] карбонил $\}$ -4 бензилпиперазина, приведены в таблицах 1-6, фармацевтическую умифеновир. Для лечения животных заявляемые композиции и умифеновир готовили в виде суспензии в 1 % растворе крахмала. Вводимые дозы указаны расчета препаратов ИЗ содержания фармацевтической субстанции лекарственной \mathbf{B} форме. исследуемых препаратов готовили непосредственно перед проведением эксперимента, животным вводили по 200 мкл приготовленных препаратов внутрижелудочно. Вещества взвешивали с точностью до 0,1 аналитических весах. Дозы препаратов рассчитывали в относительных массовых единицах - мг/кг массы тела животных в сутки.

Вирус

Для моделирования гриппозной пневмонии был использован штамм вируса гриппа А/Калифорния/04/2009 (пндмН1N1 2009), предоставленный ВОЗ, в лиофилизированном состоянии, хранившийся при плюс 4 $^{\circ}$ С и адаптированный к мышам. Для адаптации и подготовки инфицирующего материала мышей заражали интраназально разведенным вирусом, после проявления признаков болезни их гуманно умерщвляли и вскрывали. В стерильных условиях получали гомогенат легочной ткани. Полученный легочной ткани использовали для заражения 10-дневных гомогенат куриных эмбрионов, из которых получали аллантоисный вирус и после титрования на его мышах (определения $MЛД_{50}$ (мышиная летальная доза 50) дозы вируса, вызывающая 50 % гибели зараженных мышей) проводили инфицирование животных. В опытах использовали один пул вируса, который не замораживали и хранили при температуре 4 °C. Этот же пул вируса использовали в 2-х экспериментах.

Типирование используемого вируса в реакции торможения гемагглютинации (РТГА)

Для типирования вируса в РТГА применили специфические сыворотки к эталонным штаммам вирусов гриппа - А/Калифорния /04/2009 (H1N1) и сезонный вирус А/Брисбен/59/2007 (Н1N1), полученные из ВОЗ. Для постановки РТГА использовали 96-луночные микропланшеты с V-образными лунками. Сыворотки в двукратно снижающихся концентрациях разводили в изотоническом растворе натрия хлорида и разливали по лункам. каждому их разведению добавляли равное количество вируссодержащей жидкости. Контролем являлась взвесь вируса в изотоническом растворе натрия хлорида. Планшеты со смесью сывороток и вируса выдерживали в термостате 30 мин или при комнатной температуре 2 ч, затем в каждую из них добавляли взвесь эритроцитов. Результаты реакции учитывали через 30 минут. Выводы о результатах типирования вируса делали на основании выявленного взаимодействия тестируемого вируса с одной из позитивных референс-сывороток. Вирус относили к тому или иному типу (субтипу) вируса при условии его взаимодействия с соответствующей референс-сывороткой не менее 1/4 гомологичного титра.

Животные

Беспородных мышей, самок с массой тела 12-14 г. получали из питомника «Андреевка» (Московская обл.) и содержали на стандартном рационе. Животных содержали в регламентированных условиях вивария при естественном световом режиме на стандартном пищевом рационе и

свободном доступе к воде и пище. Кормили животных брикетированными кормами в соответствии с утвержденными нормами. Содержание животных соответствовало правилам по устройству, оборудованию и содержанию экспериментально-биологических клиник (вивариев). Маркировка животных по группам производилась с помощью окраски красителями поверхности тела.

Животных взвешивали на весах Ohaus Scout SPX222 (НПВ 220г, дискретность 0,01 г) каждый раз в определенное время (12.00 часов дня).

Описание и схемы применения препаратов на модели гриппозной пневмонии мышей

Препарат сравнения умифеновир

препарата сравнения качестве использовали умифеновир. Целесообразность выбора умифеновира определялась тем, является единственным лицензированным противогриппозным препаратом, относящимся к классу индолов, доказавшим свою эффективность безопасность в доклинических и клинических испытаниях,. Гидрохлорид $1 - \{ [6-бром-1-метил-5-метокси-2-фенилтиометил-1-H-индол-3$ ил]карбонил}-4 бензилпиперазин входящий в состав композиции также относится к этому классу. Умифеновир вводили за 24 часа и 1 час до инфицирования, далее в течение 5 СУТОК 1 раз в сутки после внутрижелудочного инфицирования. Для введения использовали одноразовый инсулиновый шприц со специальной иглой (лаваж).

Исследуемые композиции

первом эксперименте при изучении эффективности заявляемых композиций на основе твердых липидных частиц гидрохлорида 1-{[6бром-1-метил-5-метокси-2-фенилтиометил-1-Н-индол-3-ил] карбонил}-4 бензилпиперазина, так же как и в случае умифеновира, была применена следующая схема лечения: за 24 часа и 1 час до инфицирования, далее в течение 5 суток 1 раз в сутки после инфицирования. Во втором эксперименте при лечении заявляемыми композициями на основе твердых 1-{[6-бром-1-метил-5-метокси-2частиц гидрохлорида фенилтиометил-1-Н-индол-3-ил] карбонил}-4 бензилпиперазина использовали 2 дозы и 2 схемы введения. Первую дозу равную 3,7 мг/кг/сутки вводили за 1 сутки до инфицирования 2 раза в день; за 4 до и 4 часа после инфицирования в день заражения; далее 2 раза в сутки в течение 7 суток. Вторую дозу 15 мг/кг/сутки применили за 24 и 1 час до инфицирования; далее 1 раз в сутки в течение 7 суток.

Группы животных

Для проведения эксперимента были сформированы следующие группы мышей:

- 1-я умифеновир доза 40 мг/кг;
- 2-я умифеновир доза 60 мг/кг;
- 3-я заявляемая композиция 1.1 доза 3,7 мг/кг;
- 4-я заявляемая композиция 1.1 доза 15 мг/кг;
- 5-я заявляемая композиция 1.2 доза 3,7 мг/кг;
- 6-я заявляемая композиция 1.2 доза 15 мг/кг;
- 7-я заявляемая композиция 1.3 доза 3,7 мг/кг;
- 8-я заявляемая композиция 1.3 доза 15 мг/кг;
- 9-я заявляемая композиция 2.1 доза 3,7 мг/кг;
- 10-я заявляемая композиция 2.1 доза 15 мг/кг;
- 11-я заявляемая композиция 2.2 доза 3,7 мг/кг;
- 12-я заявляемая композиция 2.2 доза 15 мг/кг;
- 13-я заявляемая композиция 2.3 доза 3,7 мг/кг;
- 14-я заявляемая композиция 2.3 доза 15 мг/кг;

15-я - вирусный контроль.

В группах было от 8 до 15 животных. В некоторых группах при манипуляциях, связанных с заражением или лечением погибали 1 или 2 мыши. Далее эти группы рассматривались как содержащие на одну мышь меньше. Предварительно взвешенные мыши в этот же день инфицировались интраназально под легким наркозом вирусом А/Калифорния/04/2009 2009) Лечение (пндмН1N1 \mathbf{B} 10 $MЛД_{50}$. дозе проводили по описанным схемам. Животные контрольной группы были инфицированы вирусом гриппа и не получали никакого лечения, внутрижелудочно зондом вводили суспензию 1 % крахмального геля в объеме 200 мкл по схеме применения заявляемых композиций.

За леченными и животными контрольной группы вели ежедневное наблюдение. В первые 5 суток после инфицирования вирусом гриппа мышей взвешивали ежедневно, в последующий период раз в 1-2 сутки.

Химиотерапевтическую активность исследуемых препаратов на модели гриппозной пневмонии мышей оценивали по следующим критериям:

- повышение показателя защиты от смертности;
- титр вируса в легких;
- увеличение средней продолжительности жизни мышей по сравнению с контрольными животными, не получавшими лечения.

Среднюю продолжительность жизни мышей рассчитывали по следующей формуле:

$$MSD = \sum f(d-1)/n$$
 [1],

где: f - количество мышей умерших на день d, выжившие мыши также включены в f и d, в этом случае равно 16,

n - количество мышей в группе.

Уменьшение или увеличение массы тела рассчитывали отдельно для каждой мыши и выражали в процентах, при этом за 100% принимали массу тела животного перед инфицированием. Для всех мышей одной группы определяли среднее значение процента потери или увеличения массы тела животных.

Получение легких мышей

На 4 сутки после инфицирования вирусом гриппа из каждой группы гуманно умерщвляли и вскрывали по 3 мьши и в стерильных условиях После вскрытия проводилась визуальная оценка извлекали легкие. легких. При методе оценки степени поражения легких использовали 4-х бальную систему. Полное поражение всего легкого (увеличены крестами, красные, плотные) оценивалось четырьмя поражения - тремя крестами, половина - двумя крестами, ¼ - одним крестом.

После визуальной легких их трехкратно промывали оценки $\{\Phi CE\}$, 0,01 Μ фосфатно-солевого буфера растворе гомогенизировали и ресуспендировали в 1 мл холодного стерильного ФСБ. Суспензию осветляли клеточного \mathbf{T} центрифугированием при 2000 д в течение 10 мин и супернатант использовали для определения инфекционного титра вируса в культуре клеток МДСК.

Определение титра вируса в легких мышей

Для определения инфекционного титра вируса гриппа клетки MDCK (перевиваемые клетки почки собаки, масса 50-60) рассеивали в 96-луночных планшетах фирмы "Costar" со средней плотностью 30000-35000 клеток на лунку и выращивали в минимальной среде Игла (МЕМ) в присутствии 5 % фетальной сыворотки телят, 10 мМ глутамина и антибиотиков (пенициллин 100 МЕ/мл и стрептомицин 100 мкг/мл) до полного монослоя. Перед заражением вирусом гриппа клетки 2 раза

промывали средой МЕМ без сыворотки. Готовили 10-кратные разведения каждой пробы вируса из легких (цельный до 10^{-8}) на среде с ТРСК-трипсина (2 мкг/мл). Полученными добавлением разведениями заражали монослой 4-х лунок 96-луночного планшета. После инкубации при 37 °C в атмосфере 5 % CO₂ в течение 72 часов клетки промывали трижды ФСБ и фиксировали 10 % раствором формальдегида температуре 18 - 23 °C в течение 5 мин. После удаления раствора формальдегида в каждую лунку планшета вносили по 100 мкл 1 % раствора кристаллического фиолетового и выдерживали при температуре 18 - 23 °C в течение 5 мин. После промывания водой и высушивания планшета в лунки добавляли по 0,1 мл 96 % спирта, инкубировали при покачивании при комнатной температуре в течение 20 мин, а затем измеряли оптическую плотность при длине волны 570 нм. Лунки считали положительными, если оптическая плотность в них была оптической плотности в клеточном контроле на 20 %. Инфекционный титр вируса определяли по 4 повторностям каждой пробы по методу Рида и Менча и выражали в loq10 ТЦИД $_{50}/0$,1 мл (тканевой цитопатической дозы 50 - доза вируса, вызывающая гибель зараженных клеток). Далее рассчитывали среднее значение титра для трех одинаковых проб.

Результаты

Наработка и характеристика пула вируса гриппа А/Калифорния/04/2009 (H1N1), адаптированного к мышам

При типировании образца вируса, используемого для заражения, в РТГА применили специфические сыворотки к эталонным штаммам вирусов А/Калифорния/04/2009 (H1N1) И сезонный вирус А/Брисбен/59/2007 (H1N1), полученные из ВОЗ. Титрование в $PT\Gamma A$ показало, что титр используемого для заражения и адаптированного к вируса составлял 1:640 идп взаимодействии С референссывороткой А/Калифорния /4/2009 (H1N1) и менее, чем 1:10 референс-сывороткой А/Брисбен/59/2007 (H1N1), в то время как при взаимодействии XNTE же референс-вирусами сывороток С составляли 1:1280. Представленные данные свидетельствуют, что используемый вирус являлся вирусом гриппа А/Калифорния/04/2009 (H1N1) (Таблица 7).

Таблица 7 — Характеристика использованного в исследованиях пула вируса гриппа A/Калифорния/04/2009 (H1N1), адаптированного к мышам

Вирус + специфическая сыворотка	Наличие мутаций	Результаты РТГА	эзультаты РТГА	
	в м (м2)		Титр	
	гене	Сыворотка	вируса в РТГА	
А/Калифорния	Ser 31 Asn	специфическая		
/04/2009 (H1N1),		сыворотка к	1:1280	
референс-штамм		А/Калифорния /04/2009	1.1200	
		(H1N1) референс-штамму		
А/Калифорния	Ser 31 Asn	специфическая		
/04/2009 (H1N1),		сыворотка к 1:640		
адаптированный к мышам		А/Калифорния /04/2009 1:640		
		(H1N1) референс-штамму		
А/Калифорния	Нет	специфическая		
/04/2009 (H1N1),		сыворотка к	Менее	
адаптированный к мышам		А/Брисбен/59/2007	1:10	
		(H1N1) референс-штамму		

Для определения дозы вируса, содержащей $10\,$ МЛД₅₀, группы, состоящие из $4-6\,$ мышей, заражали полученным цельным аллантоисным вирусом и последовательными 10-кратными его разведениями (от $10^{-1}\,$ до 10^{-5}). Пример данных по наблюдению за животными в течение $16\,$ суток приведены в Таблице $8\,$. Из этих данных видно, что $50\,$ % гибели животных вызывает заражение вирусом 10^{-3} , следовательно, $50\,$ мкл разведения $10^{-2}\,$ будет содержать примерно $10\,$ МЛД₅₀ (Таблица $8\,$).

Таблица 8 — Определение МЛД $_{50}$ адаптированного к мышам вируса гриппа А/Калифорния/04/2009 (H1N1) на модели гриппозной пневмонии мышей

Разведения	Количество	Выжившие/	Смертность, %
Вируса	мышей в	Погибшие	
	группах		
Цельный	4	0/4	100
вирус	5	0/5	100
10^{-1}	5	0/5	100
10^{-2}	6	3/3	50
10 ⁻³	6	6/0	0
10^{-4}	5	5/0	0
10^{-5}			

Эффективность заявляемых композиций и препарата сравнения умифеновира на модели гриппозной пневмонии мышей

У животных контрольной группы, зараженных вирусом гриппа в дозе и не получавшей никакого лечения, в соответствии вышеприведенной дозой заражения наблюдали полную гибель животных. Средняя продолжительность жизни мышей в первом и втором эксперименте в группах вирусного контроля была 7,5 и 8,25 сутки соответственно. При этом максимальная потеря составила примерно 10 % на 7 сутки в первом опыте и 30 % на 9 сутки во втором опыте. В первом эксперименте лечение заявляемыми композициями 1.1; 1.2; 1.3; 2.1; 2.2 и 2.3 в дозе 3,7 мг/кг/сутки защищало от гибели 33-45 животных, увеличивало среднюю продолжительность их жизни. Изменение схемы лечения и увеличение ее продолжительности до 7 суток не значительному усилению эффективности, которая практически такой же, как и в первом эксперименте. Увеличение дозы композиции 1.1; 1.2: 1.3; 2.1; 2.2 И 2.3 заявляемых ДΟ мг/кг/сутки привело к повышению эффективности лечения. заявляемыми композициями 1.1; 1.2; 1.3; 2.1; 2.2 и 2.3 в дозе 15 мг/кг/сутки по результатам обоих опытов защищало от гибели 50-64 % животных, увеличивая продолжительность их жизни примерно в 1,5-1,6 раза. Лечение заявляемыми композициями 1.1; 1.2; 1.3; 2.1; 2.2 и 2.3 в дозе 15 мг/кг/сутки по оцениваемым параметрам в некоторой степени препаратом сравнения умифеновиром сопоставимо С дозе мг/кг/сутки (Таблицы 9 и 10).

Для оценки эффективности лечения, а также чтобы исключить проявление токсических эффектов, в эксперименте проводилась визуальная оценка состояния легких мышей. Оказалось, что все инфицированные мыши в контрольной группе погибли от пневмонии, о чем свидетельствовало состояние их легких, оцененное на 4 креста. Во всех изученных дозах состояние легких при лечении умифеновиром было

сходно с состоянием легких у животных, леченных заявляемыми композициями 1.1; 1.2; 1.3; 2.1; 2.2 и 2.3, патологические изменения наблюдались примерно в половине легких и были оценены на 2 креста.

вирусологического исследования полученные иап наблюдении за мышами данные коррелировали с клиническими параметрами эффективности лечения со снижением размножения вируса в этом органе. У животных контрольной группы в первом и во втором эксперименте титры вируса были 4,83±2,89 и 3.6 ± 0.36 lq ТЦИД $_{50}$ соответственно. В первом эксперименте титр вируса в легких животных при лечении умифеновиром и заявляемыми композициями 1.1; 1.2; 1.3; 2.1; 2.2 и 2.3 зависел от вводимой дозы. лечении умифеновиром в дозе 60 мг/кг/сутки и композициями 1.1; 1.2; 1.3; 2.1; 2.2 и 2.3 в дозе 15 мг/кг/сутки титр вируса в легких животных составил 3,0 \pm 2,6 lq ТЦИД $_{50}$ и 2,33 \pm 0,51 $-2,83\pm0,58$ lg ТЦИД $_{50}$ соответственно против $4,83\pm2,89$ lg ТЦИД $_{50}$ в вирусном контроле (Таблица 9). Во втором эксперименте при лечении заявляемыми композициями 1.1; 1.2; 1.3; 2.1; 2.2 и 2.3 обе изученные 15 мг/кг/сутки практически одинаково размножение вируса. Полученные результаты по заявляемым композициям 1.1; 1.2; 1.3; 2.1; 2.2 и 2.3 в изученных дозах 3,7 и 15 мг/кг/сутки в отношении ингибирования размножения вируса в легких животных были в некоторой степени сопоставимы с умифеновиром в дозах 40 и 60 мг/кг/сутки (Таблица 10).

Лечение заявляемыми композициями 1.1; 1.2; 1.3; 2.1; 2.2 и 2.3 в дозе 15 мг/кг/сутки на модели гриппозной пневмонии мышей является эффективным. На фоне приема заявляемых композиций 1.1; 1.2; 1.3; 2.1; 2.2 и 2.3 в дозе 15 мг/кг/сутки, отмечено снижение гибели животных, размножения вируса в легких и увеличение продолжительности жизни по сравнению с контрольной группой нелеченных животных.

Результаты лечения эффективной дозой (15 мг/кг/сутки) заявляемыми композициями 1.1; 1.2; 1.3; 2.1; 2.2 и 2.3 сопоставимы по всем оцениваемым параметрам с терапией умифеновиром в дозе 60 мг/кг/сутки (следует отметить, что при схожих эффектах доза заявляемых композиций в 4 раза меньше дозы умифеновира).

Таким образом, в результате проведенных исследований установлено, что предлагаемые средства с направленной доставкой в верхние дыхательные пути в максимально низких дозах являются эффективными в отношении лечения гриппа и ОРВИ. Максимальный эффект заявляемые композиции оказывают в дозе 15 мг/кг, что в 4 раза меньше дозы умифеновира.

Примеры твердых лекарственных форм включают, например, таблетки, пилюли, желатиновые капсулы и др.

твердой лекарственной формы включает желатиновые капсулы. Для желатиновых капсул обычно используются дополнительно стабилизаторы. В качестве красителей красители и применяются: тетразин, индиго; в качестве стабилизаторов могут быть представлены: натрия метабисульфит, натрия бензоат. Предлагаемые желатиновые капсулы содержат от 2 до 14 % активного ингредиента.

ПРИМЕР 3.

1 капсула 10 мг содержит: Активное вещество: - гидрохлорид $1-\{[6-бром-1-метил-5-метокси-2-фенилтиометил-1-H-индол-3-ил] карбонил<math>\}-4$ бензилпиперазин 10 мг в пересчете на безводное вещество

Вспомогательные вещества:

глицерид длинноцепочечных жирных кислот, триглицерид среднецепочечный, масло растительное, эмульгатор, целлюлоза микрокристаллическая до массы содержимого 350 мг

Капсулы твердые желатиновые:

Желатин

Титана диоксид (Е171)

Активный ингредиент в свободной форме, такой, как порошок или гранулы, в количестве $100~\rm r$ (количество вещества, необходимое для получения $10000~\rm kancyn$) перемешивается с вспомогательными веществами ($3400~\rm r$).

Назначаемая для приема доза активного компонента гидрохлорид $1-\{[6-6pom-1- метил-5-метокси-2-фенилтиометил-1-H-индол-3-ил] карбонил<math>\}-4$ бензилпиперазин формулы 1 варьирует в зависимости от многих факторов, таких как возраст, пол, масса тела пациента, симптомы и тяжесть заболевания, конкретно назначаемое соединение, способ приема, форма препарата, в виде которой назначается активное соединение.

Обычно, общая назначаемая доза составляет от 1 до 50 мг в день. Общая доза может быть разделена на несколько доз, например, для приема от 1 до 4 раз в день. При оральном назначении интервал общих доз активного вещества составляет от 1 до 50 мг в день, предпочтительно, от 5 до 20 мг. Эффективная терапевтическая доза препарата может быть выбрана лечащим врачом.

Таблица 9 — Эффективность исследуемых препаратов на модели гриппозной пневмонии мышей, индуцированной вирусом гриппа A/Kалифорния/04/2009 (H1N1) (ЭКСПЕРИМЕНТ 1)

Препа		казатели	,	, (OROHDIJAHIHI I)		
раты,	Выживаем жив/общ ее		Показат ель защиты от смертно сти, (%)	Средняя продолжительнос ть жизни (сутки)	Титр вируса в легких	
			Ум	ифеновир		
40 Mr/Kr	0/5	100	0	8,4 (1-7д., 2- 9д., 2-11д.)	5,0±0,5 (4,5; 5,5; 5,0)	
60 мг/кг	5/10(p= 0,004)	50	50	11,7(2-7д., 1- 9д., 1-11д., 1- 13д.)		
		<u> </u>	L Заявляе м ая	н композиция 1.1		
3,7 Mr/Kr	5/11 (p=0,02	55	45	11,55 (1-7д., 2-9д., 3-11д.)	3,83±0,49 (4,0; 3,5; 4,0)	
15 мг/кг	7/11 (p=0,00	36	64	12,35 (2-7д., 2-9д.)	2,33±0,51 (3,0; 2,0; 2,0)	
			Заявляемая	н композиция 1.2		
3,7 Mr/Kr	5/13 (p=0,03	62	38	10,95 (1-6д., 3-9д., 4-11д.)	4,17±0,54 (4,0; 3,5; 5,0)	
15 мг/кг	6/11 (p=0,00	45	55	11,85 (2-7д., 3-9д.)	2,67±0,58 (3,5; 2,5; 2,0)	
		Ţ	Заявляемая	н композиция 1.3		
3,7 мг/кг	3/10 (p=0,03	70	30	11,05 (1-7д., 2-9д., 3-11д.)	4,0±0,48 (4,0; 3,5; 4,5)	
15 мг/кг	6/10 (p=0,00	40	60	11,95 (2-7д., 2-9д.)	2,83±0,60 (3,5; 3,0; 2,0)	
	Заявляемая композиция 2.1					
3,7 мг/кг	5/12 (p=0,04	58	42	10,55 (1-6д., 3-9д., 4-11д.)	4,17±0,58 (4,5; 3,5; 4,5)	
15 мг/кг	7/12 (p=0,03	42	58	12,15 (2-7д., 3-9д.)	2,67±0,52 (3,5; 2,0; 2,5)	
	ı <i>'</i>	l		l .	<u> </u>	

Препа	Показатели					
раты,	Выживаем	ОСТЬ	Показат	Средняя	Титр вируса в	
поры			ОПІ	TROTOTWIME TI HOC	TOTIVIA	
		5	Ваявляема:	я композиция 2.2		
	ı	ı				
3,7	4/11	64	36	10,45 (1-6д.,	4,0±0,58 (4,5;	
мг/кг	(p=0,03)			3-9д., 4-11д.)	3,5; 4,0)	
)	50	50			
15	6/12			12,05 (2-7д.,	2,83±0,58 (3,5;	
мг/кг	(p=0,04)			3-9д.)	2,5; 2,5)	
)				, , ,	
	Заявляемая композиция 2.3					
3,7	4/12	67	33	10,75 (1-6д.,	4,17±0,58 (4,5;	
мг/кг	(p=0,02)			3-9д., 4-11д.)	3,5; 4,5)	
	8)				, , ,	
15	6/11	45	55	11,45 (2-7д.,	2,83±0,60 (3,5;	
мг/кг	(p=0,00			3-9д.)	2,5; 2,5)	
,	16)					
Вирусный контроль						
	0/12	100		7,5 (2-6д., 3-	4,83±2,89 (5,0;	
				7д., 4-9д., 3-		
				11д.)	0,0, 1,0,	
					ı	

Таблица 10 — Эффективность исследуемых препаратов на модели гриппозной пневмонии мышей, индуцированной вирусом гриппа А/Калифорния/04/2009 (H1N1) (ЭКСПЕРИМЕНТ 2)

Препарат	Показ	ватели		(OROHDINHIHI Z)	
ы, дозы	Выживаемость		Показ атель	Средняя продолжительнос	Титр вируса в легких
	жив/обще	ફ	защит	продолжительнос	1161.KMX
	е	смертно	ы от	(сутки)	
		СТИ	смерт	(0, 1101)	
			ности		
			, (웅)		
				феновир	
40 мг/кг	1/10	90	10		1,33±1,26(1,5; 0;
	(p=0,283			9д., 3-11д., 2-	2,5)
)			13д.)	
60 мг/кг	5/9	45	55	12,1 (3-9д., 1-	2,0±1,8 (0; 2;5;
	(p=0,001			11д.)	3,5)
	6)				
Заявляемая композиция 1.1					
3,7	5/10			12,2 (4-8д., 1-	
мг/кг (2	(p=0,02)	50	50	9д., 1-11д., 1-	2,0; 1,0)
раза в				13д.)	
сутки)	6 (10	4.0	60	100 (1 7 0	1 0 1 1 2 40 0
15 мг/кг		40	60	13,2 (1-7д., 2-	
	(p=0,003			8д., 1-9д.,1- 11д.,2-13д.)	3,0)
	1	<u>I </u>	L вляемая	композиция 1.2	
3,7	5/12			11,8 (4-8д., 1-	1,67±0,45 (1,5;
мг/кг (2	· ·	58	42	9д., 1-11д., 1-	
раза в				13д.)	,
сутки)					
15 мг/кг		42	58	12,9 (2-7д., 2-	
	(p=0,005			8д., 1-9д.,2-	1,5; 2,0)
)			11д.,1-13д.)	
Заявляемая композиция 1.3					
3,7	4/10	60	40	11,9 (4-8д., 1-	
мг/кг (2	(p=0,03)			9д., 2-11д., 1-	2,5; 1,5)
раза в				13д.)	
сутки) 15 мг/кг	6/11	45	55	 12,8 (1-7д., 2-	
TO WILL KI	p=0,005	43	55		$\begin{bmatrix} 1,1/\pm 1,75 & (0; \\ 1,0; 2,5) \end{bmatrix}$
	(p-0,003			11д.,2-13д.)	1,0,2,3)
Заявляемая композиция 2.1					
3,7	5/11			11,6 (4-8д., 2-	1,33±0,76 (1,5;
мг/кг (2	(p=0,03)	55	45	9д., 1-11д., 1-	
раза в				13д.)	
сутки)					

Препарат	Показатели					
ы, дозы	Выжив	заемость	Показ	Средняя	Титр вируса в	
15 мг/кг	7/12 (p=0,004	42	58		1,0±0,95 (0; 1,5; 1,5)	
	Заявляемая композиция 2.2					
3,7 мг/кг (2 раза в сутки)	4/11 (p=0,02)	64	36	10,7 (4-8д., 1- 9д., 1-11д., 1- 13д.)	1 1	
15 мг/кг	6/12 (p=0,003	50	50	12,8 (1-7д., 2- 8д., 1-9д.,1- 11д.,1-13д.)	1	
Заявляемая композиция 2.3						
3,7 мг/кг (2 раза в сутки)	4/11 (p=0,02)	64	36	11,7 (4-8д., 1- 9д., 1-11д., 1- 13д.)	1 -	
15 мг/кг	7/12 (p=0,003	42	58		1,17±2,02 (0; 0; 3,5)	
Вирусный контроль						
	0/12	100		8,25 (4-7д., 1- 8д., 3-9д., 2- 11д., 2-13д.)	I	

1 Фармацевтическая композиция на основе твердых липидных частиц гидрохлорида $1-\{[6-\text{бром}-1-\text{метил}-5-\text{метокси}-2-\text{фенилтиометил}-1-\text{H}-\text{индол}-3-\text{ил}\}$ карбонил $\}-4$ бензилпиперазина, обладающая свойством направленной доставки для лечения гриппа и ОРВИ, при следующем соотношении компонентов, масс \S .

Гидрохлорид	1-{[6-бром-1-	метил-5-	2,0 - 14,0
метокси-2-фенилтис	ометил-1-Н-индол-3	3-	
ил]карбонил}-4 бен	нзилпиперазин		
Глицерид	длинноцепочечных	жирных	64,0 - 86,0
кислот			
Масло растите	10,0 - 20,0		
Эмульгатор	2,0		

2 Фармацевтическая композиция по п.1, отличающаяся тем, что дополнительно содержит триглицерид среднецепочечный при следующем соотношении компонентов, % масс:

Гидрохлорид	1-{[6-бром-1-	метил-5-	2,0 - 14,0
метокси-2-фенилтио			
ил]карбонил}-4 бен	зилпиперазин		
Глицерид д	илинноцепочечных	жирных	50 - 70,0
кислот			
Масло растите	льное		10,0 - 30,0
Триглицерид с	реднецепочечный		4,0 - 16,0
Эмульгатор			2,0

- 3 Фармацевтическая композиция по п.1 и п.2, отличающееся тем, что глицерид длинноцепочечных жирных кислот выбран из глицерил тристеарата, глицерилдистеарата, глицерилмоностеарата, глицерилпальмитата, глицерилдибегената, глицерилтрибегената, глицерилмоноолеата, белого воска или воска цетиловых эфиров.
- 4 Фармацевтическая композиция по п.1 и п.2, отличающаяся тем, что масло растительное выбрано из группы, например, масла оливкового, арахисового, кунжутного, льняного, рапсового, соевого, хлопкового, лимонного, апельсинового.
- 5 Фармацевтическая композиция по п.2, отличающаяся тем, что триглицерид среднецепочечный выбран в виде масла кокосового, пальмового или пальмоядрового.
- 6 Фармацевтическая композиция по п.1 и п.2, отличающаяся тем, что эмульгатор выбран из лецитина или желатина.
- 7 Лекарственный препарат, обладающий свойством адресной доставки для лечения гриппа и ОРВИ, содержащий

фармацевтическую композицию по п.1 или п.2, выполнен в виде таблеток или пилюль.

- 8 Лекарственный препарат, обладающий свойством адресной доставки для лечения гриппа и ОРВИ, содержащий фармацевтическую композицию по п.1 или п.2, выполнен в виде желатиновых капсул.
- 9 Лекарственный препарат по п. 8, отличающийся тем, что желатиновые капсулы твердые и/или мягкие.
- 10 Лекарственный препарат по п. 7 или 8, отличающийся тем, что содержание гидрохлорид $1-\{[6-бром-1-метил-5-метокси-2-фенилтиометил-1-H-индол-3-ил]карбонил<math>\}-4$ бензилпиперазина составляет от 2 до 14%.

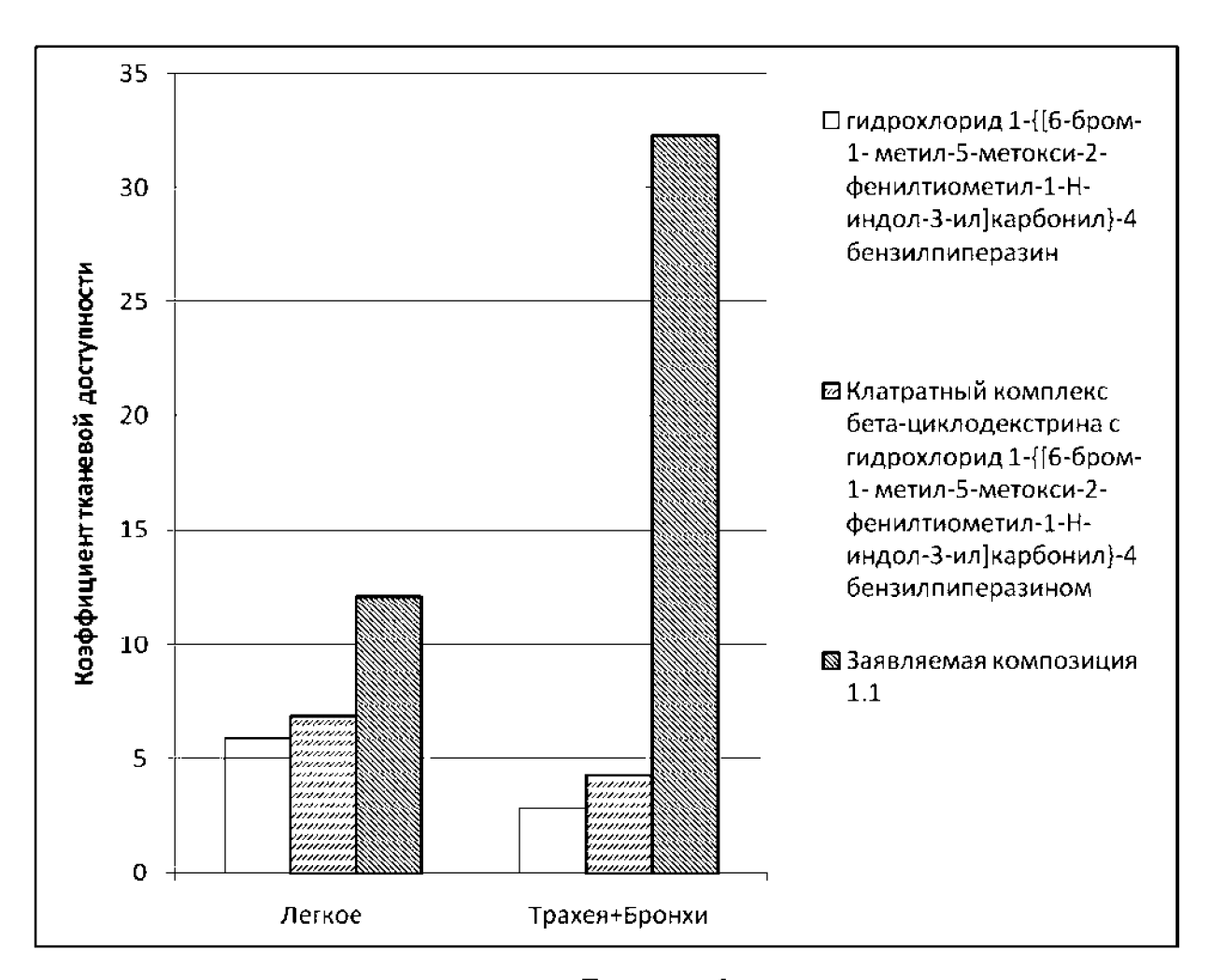


Рисунок 1

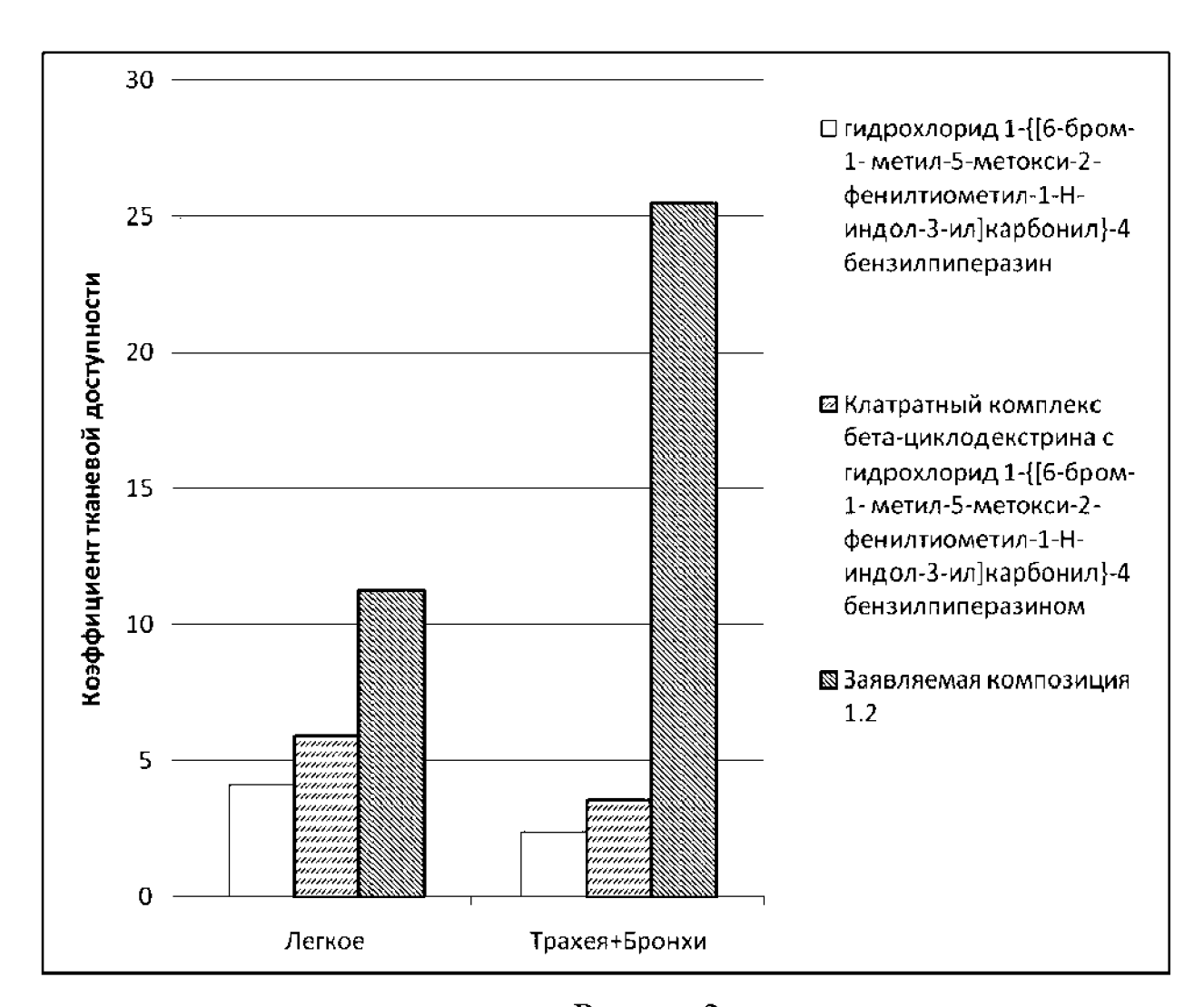


Рисунок 2

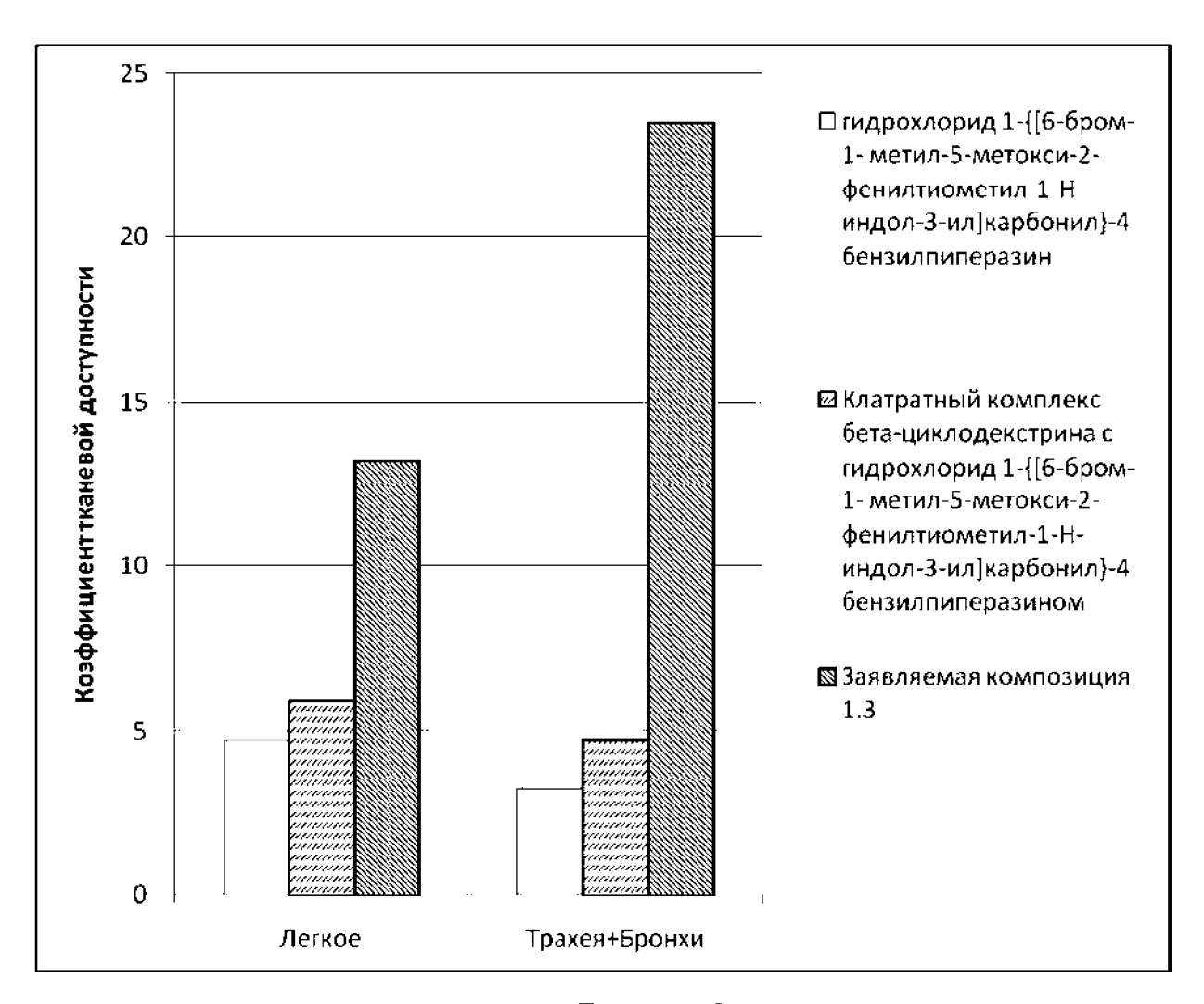


Рисунок 3

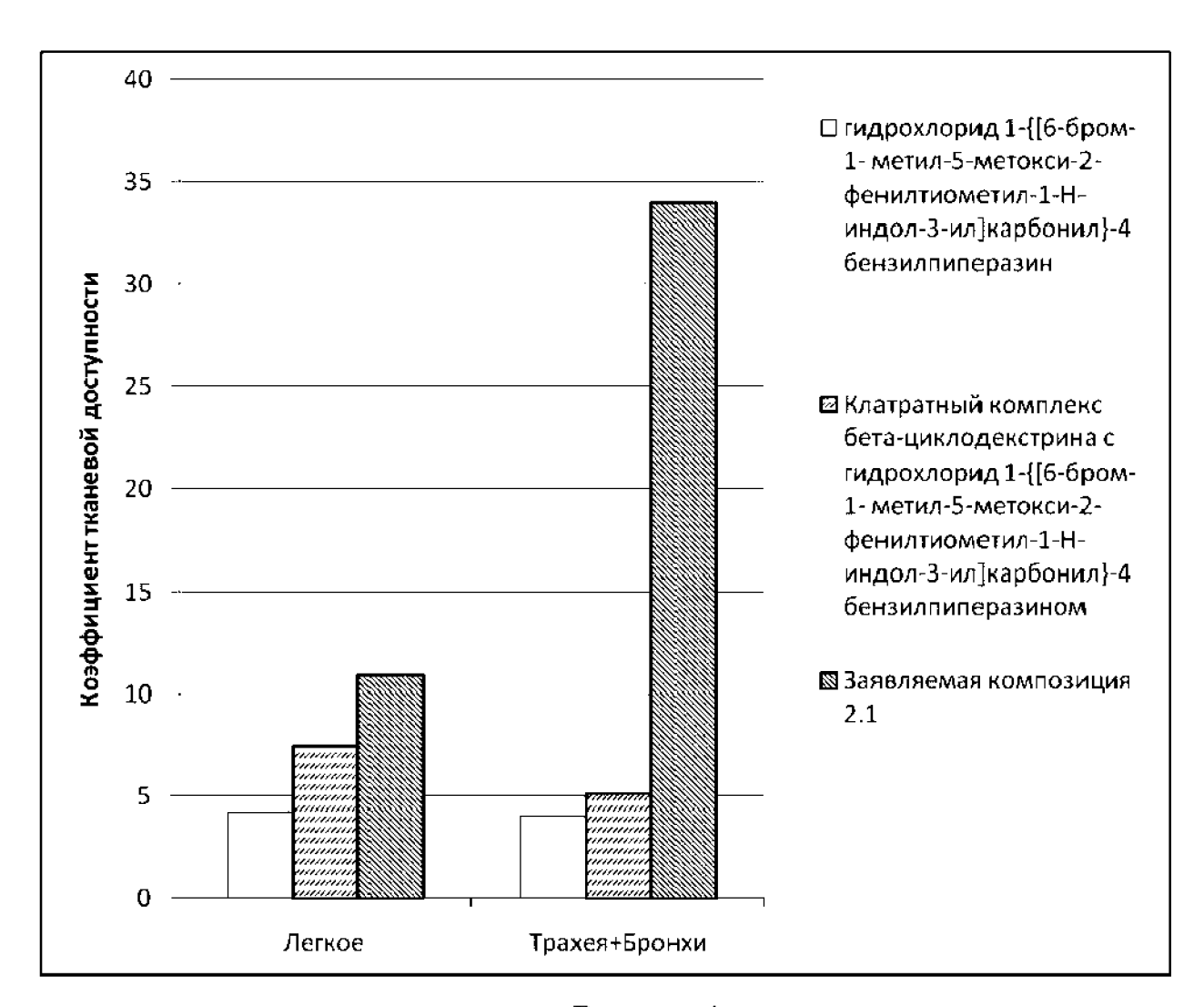


Рисунок 4

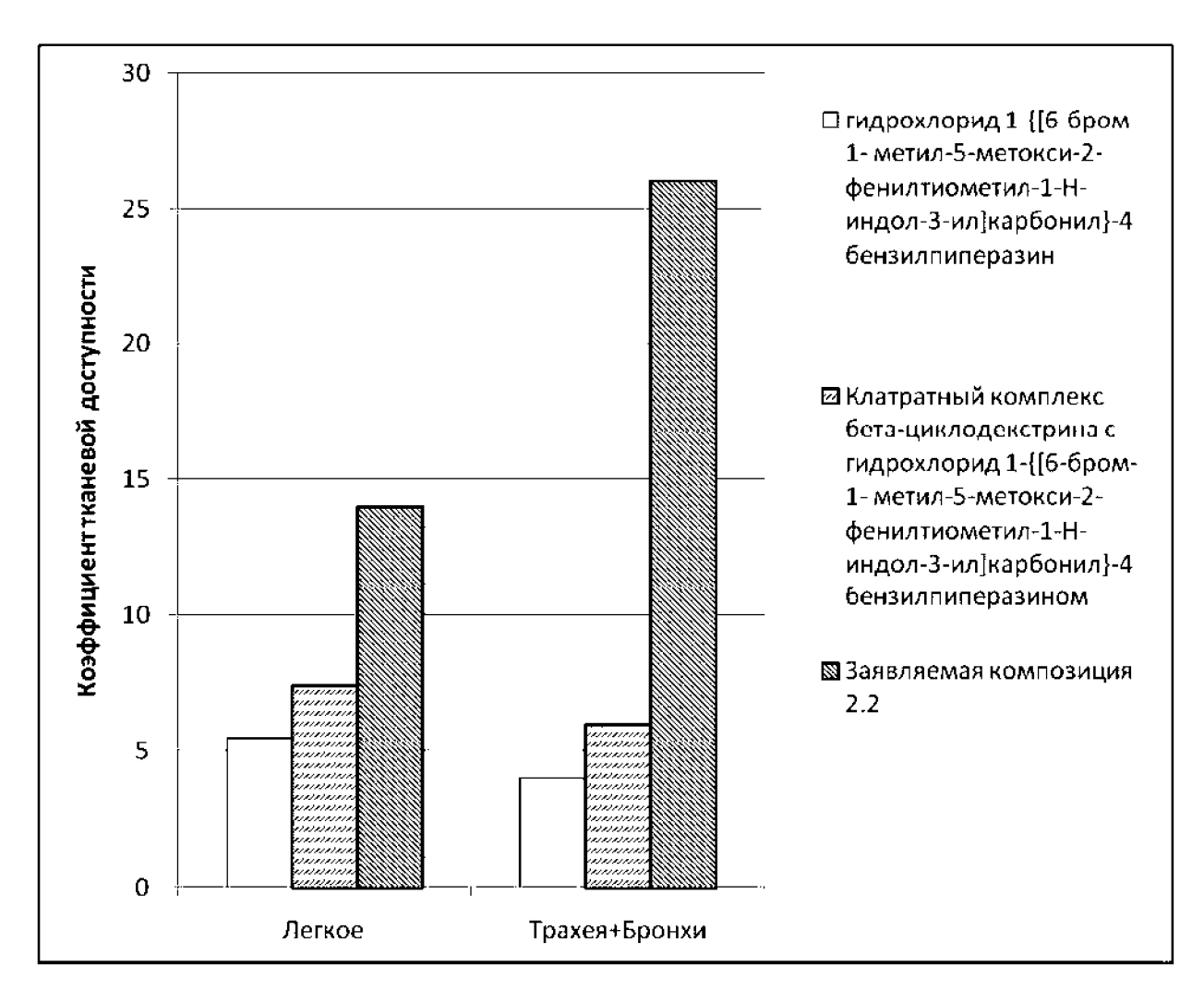


Рисунок 5

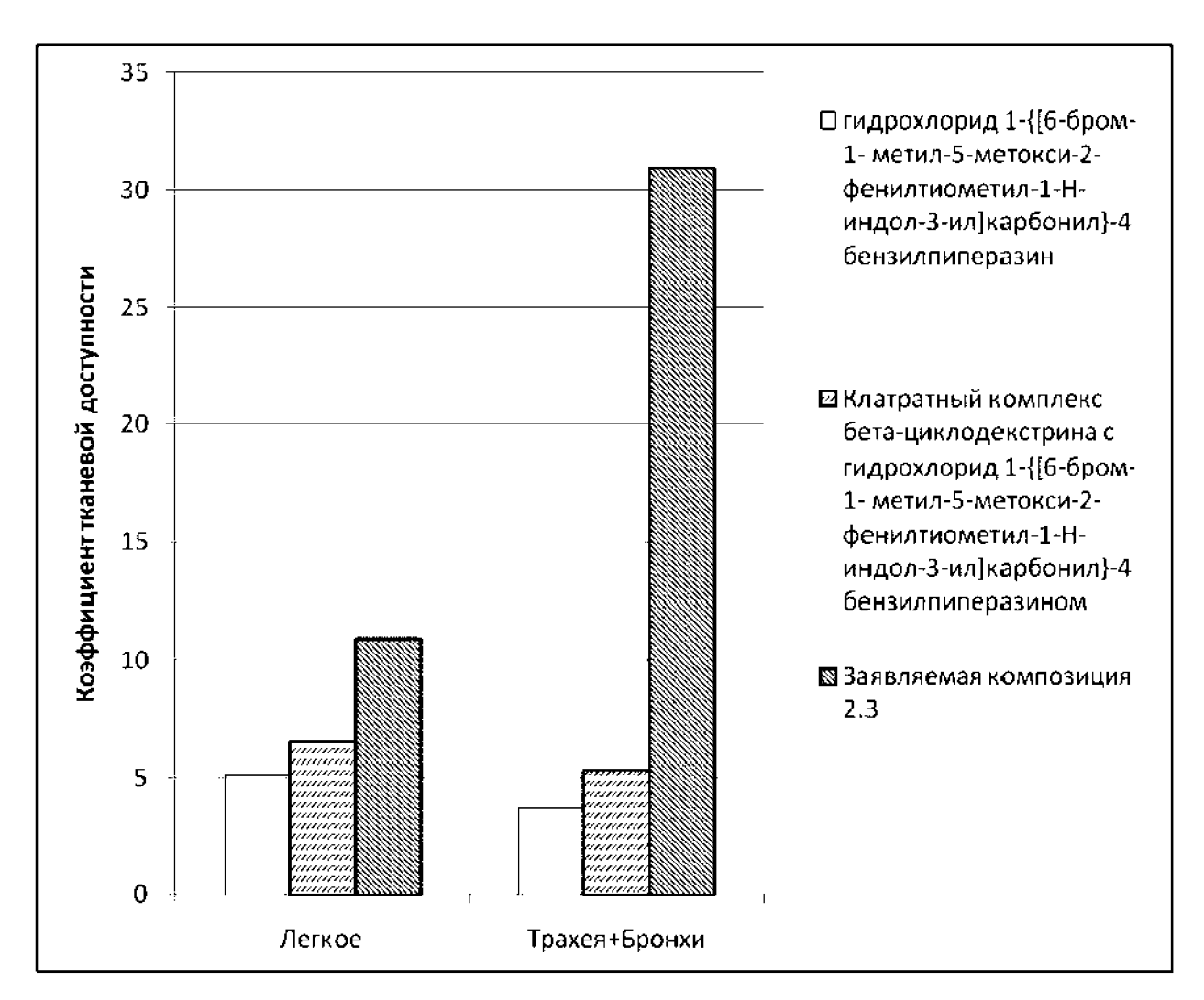


Рисунок 6